

MNUM-PROJEKT zadanie 4.2

Tomasz Jakubczyk

Obliczanie trajektorii ruchu punktu opisanego równaniami

$$x_1' = x_2 + x_1(0,9 - x_1^2 - x_2^2)$$

$$x_2' = -x_1 + x_2(0,9 - x_1^2 - x_2^2)$$

na przedziale $[0, 20]$.

- 1) Metoda Rungego-Kutty czwartego rzędu ze stałym krokiem polega na wyznaczaniu kolejnych wartości funkcji za pomocą wartości pochodnej w czterech następnych pobliskich punktach, a następnie obliczenie średniej ważonej tych pochodnych i wykorzystanie jej do zwiększenia odpowiednio wartości dla nowego punktu.

Ogólny wzór metody Rungego-Kutty dowolnego rzędu:

$$y_{n+1} = y_n + h \cdot \sum_{i=1}^m w_i k_i,$$

$$k_1 = f(x_n, y_n),$$

$$k_i = f\left(x_n + c_i h, y_n + h \cdot \sum_{j=1}^{i-1} a_{ij} k_j\right), \quad i = 2, 3, \dots, m$$

Wzór na metodę RK4:

$$y_{n+1} = y_n + \frac{1}{6}h(k_1 + 2k_2 + 2k_3 + k_4),$$

$$k_1 = f(x_n, y_n),$$

$$k_2 = f\left(x_n + \frac{1}{2}h, y_n + \frac{1}{2}hk_1\right),$$

$$k_3 = f\left(x_n + \frac{1}{2}h, y_n + \frac{1}{2}hk_2\right),$$

$$k_4 = f(x_n + h, y_n + hk_3).$$

Błąd w kroku metody Rungego-Kutty szacuje się za pomocą zasady podwójnego kroku opisanego wzorem:

$$\delta_n(h) = \frac{2^p}{2^p - 1}(y_n^{(2)} - y_n^{(1)})$$

Polega to na tym, że oblicza się różnicę wartości następnego punktu obliczonego z normalnym krokiem i tegoż punktu obliczonego w dwóch o połowę krótszych krokach.

Implementacja metody RK4:

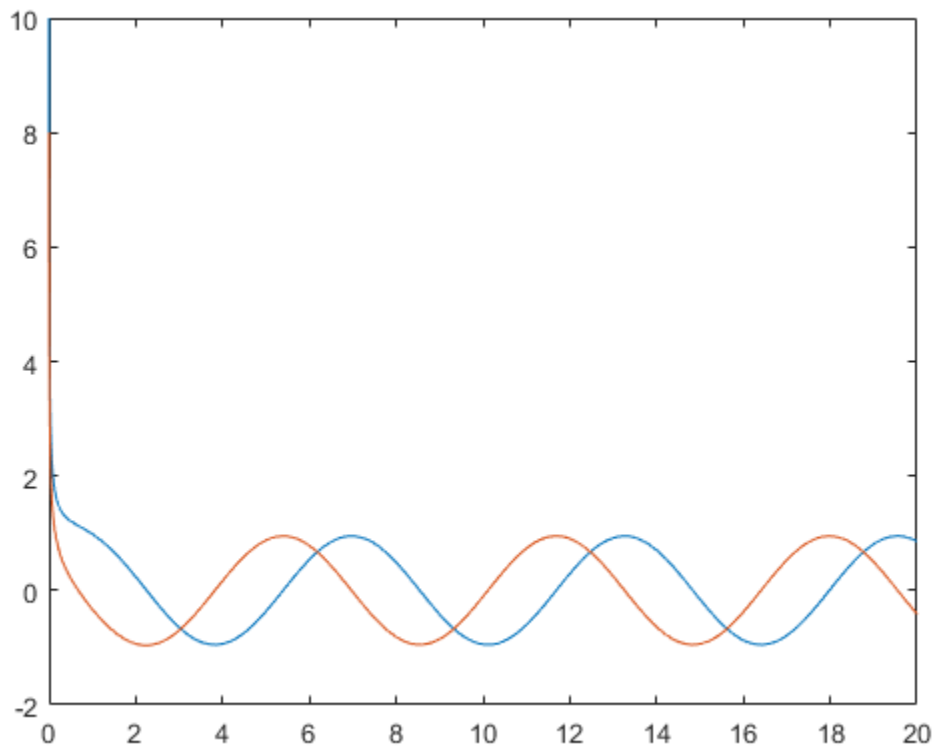
```
function [ x, T, errx, t ] = RK4_staly_krok( dx, x0, przedzial, krok )
%RK4_staly_krok Metoda Rungego-Kutty czwartego rzędu ze stałym krokiem
%   dx - układ równań różniczkowych pierwszego rzędu
%   x0 - punkt początkowy
%   przedzial - zadany przedział (od zera)
%   x - rozwiązanie
%   T - interwały przedziału (potrzebne do wykresu itp)
%   errx - błąd rozwiązania
%   t - czas obliczeń
tic;
yn=x0;%y0
h=krok;
h2=0.5*h;
j=1;
x=zeros(length(przedzial(1):krok:przedzial(2)),2);
errx=zeros(length(przedzial(1):krok:przedzial(2)),2);
T=zeros(length(przedzial(1):krok:przedzial(2)),1);
x(j,:)=yn';
T(j)=0;
for i=przedzial(1):krok:przedzial(2)
    j=j+1;
    k1=dx(yn);%zmiana oznaczeń w celu zgodności z podręcznikiem
    k2=dx(yn+0.5*h*k1);
    k3=dx(yn+0.5*h*k2);
    k4=dx(yn+h*k3);
    ynp1=yn+1/6*h*(k1+2*k2+2*k3+k4);
    x(j,:)=ynp1';
    for i2=1:2%obliczenie yn+1 w dwóch o połowę mniejszych krokach na potrzeby
    oszacowania błędów
        k1=dx(yn);
        k2=dx(yn+0.5*h2*k1);
        k3=dx(yn+0.5*h2*k2);
        k4=dx(yn+h2*k3);
        yn=yn+1/6*h2*(k1+2*k2+2*k3+k4);
    end
    errx(j,:)=abs(16/15*(yn-ynp1));
    yn=ynp1;
    T(j)=i+h;
end
t=toc;
end
```

Zadany układ równań zdefiniowałem tak:

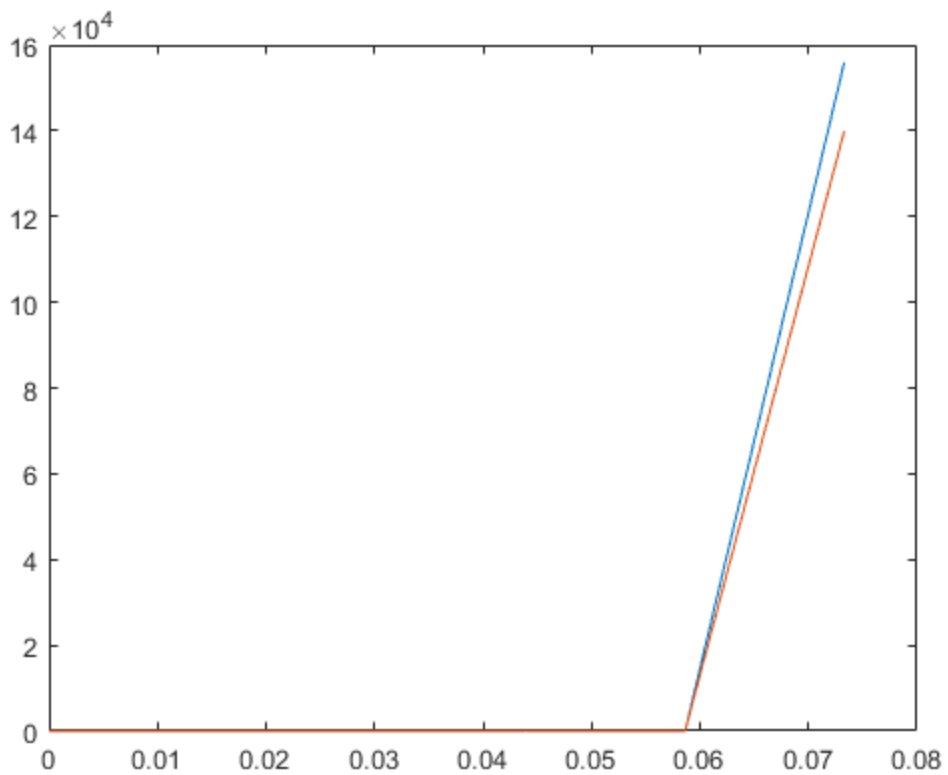
```
dx = @(x) [ x(2)+x(1)*(0.9-x(1)^2-x(2)^2) , ...
            -x(1)+x(2)*(0.9-x(1)^2-x(2)^2) ];
```

Punkt początkowy a [10 8]

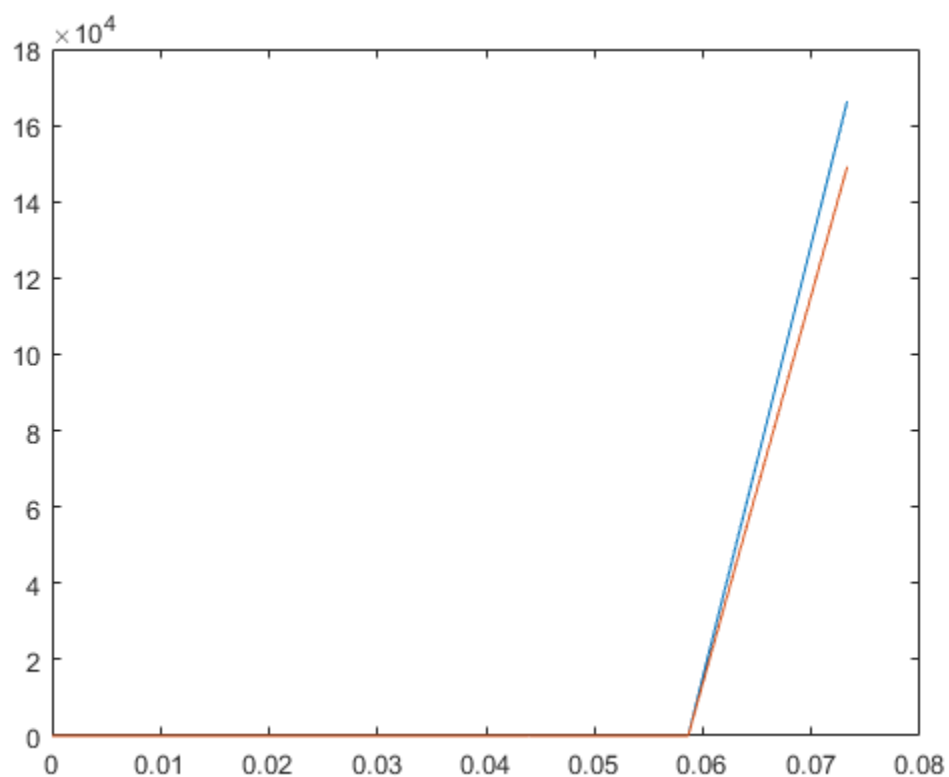
Rozwiązanie ode45:



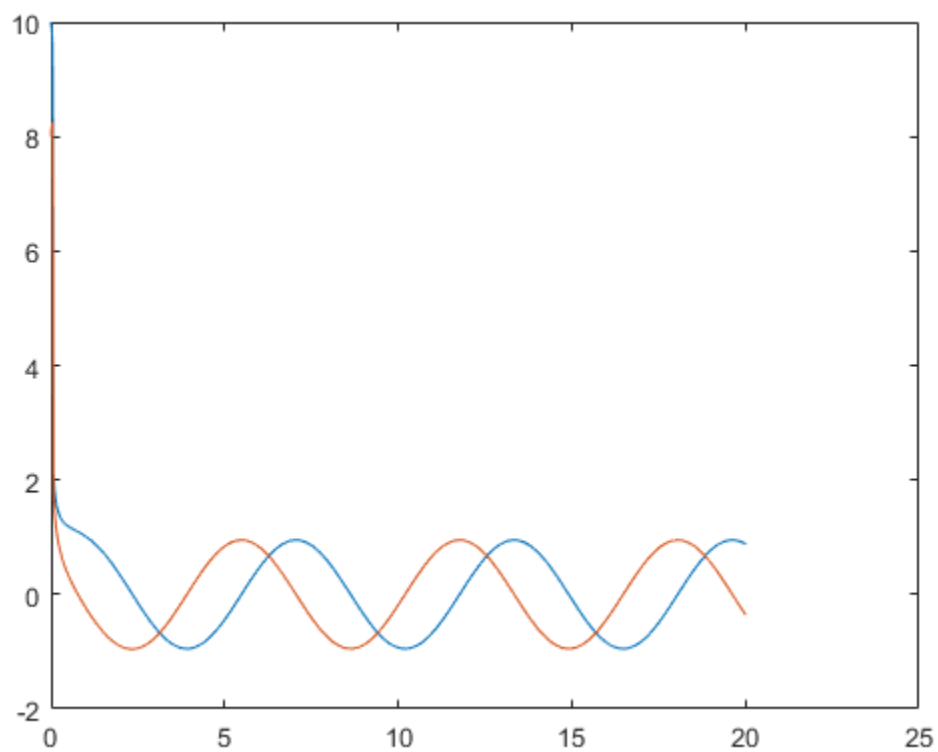
Rozwiązanie RK4 z najmniejszym jaki znalazłem krokiem który jest zbyt duży
 krok=0.0146583



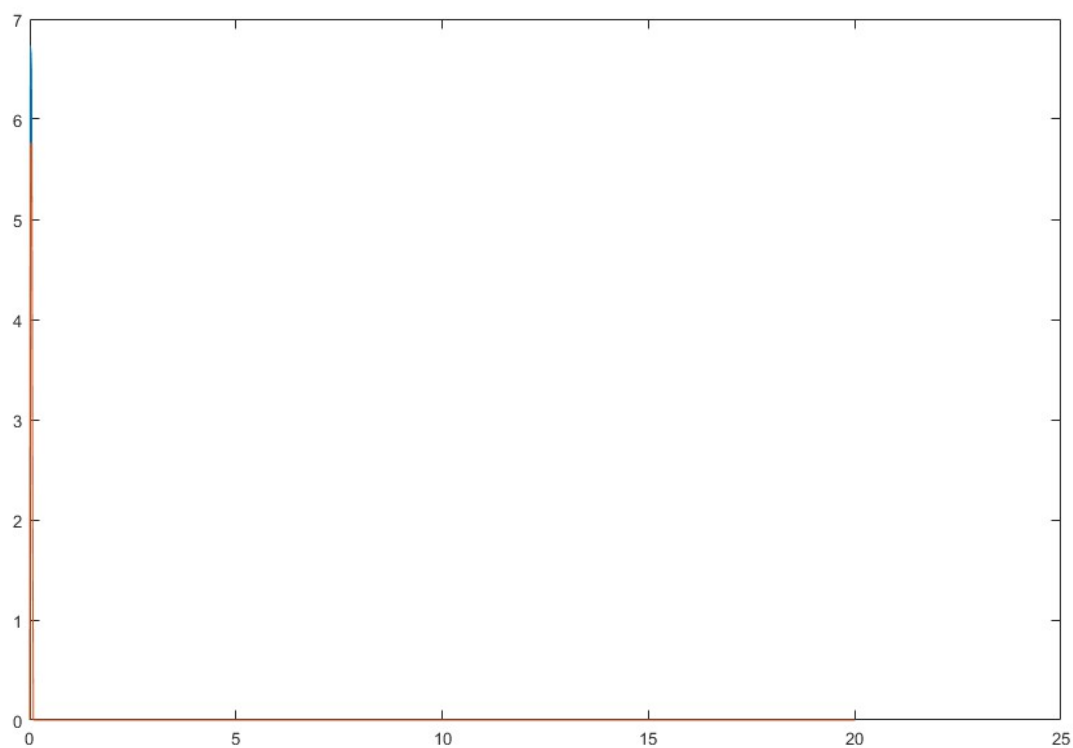
Ze względu na dużą wartość pochodnej w punkcie początkowym algorytm podawał coraz mniej dokładne rozwiązania, aż zwrócił nieskończoność w kroku 7. Oszacowane błędy wyglądały tak:



Nieco większy $\text{ krok}=0.0146582$
zwraca wykres wyglądający identycznie z ode45:



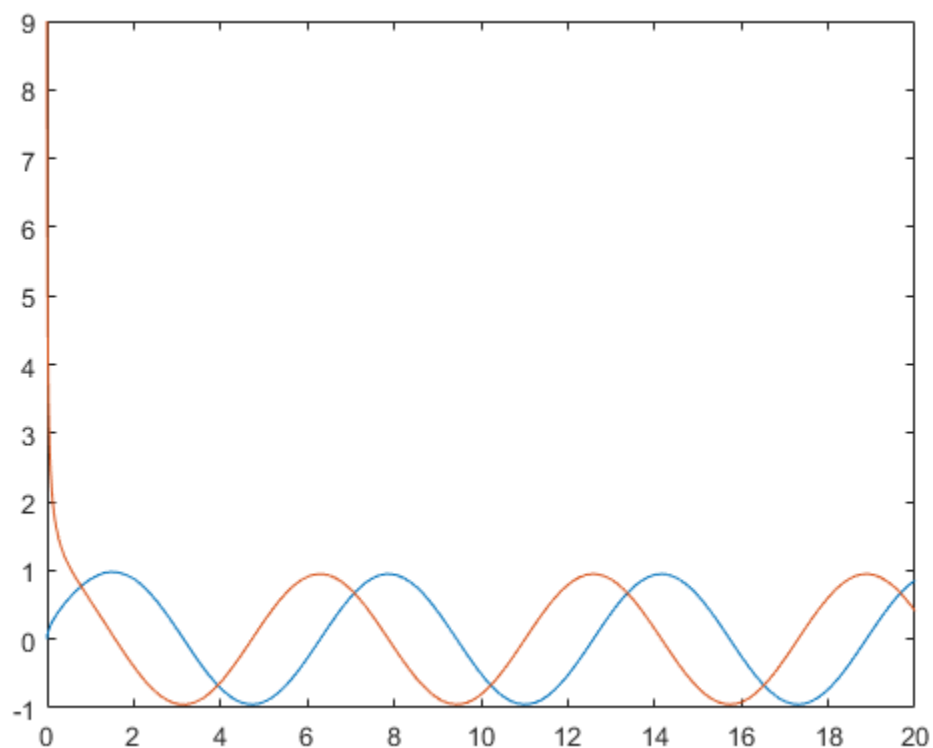
szacowane błędy:



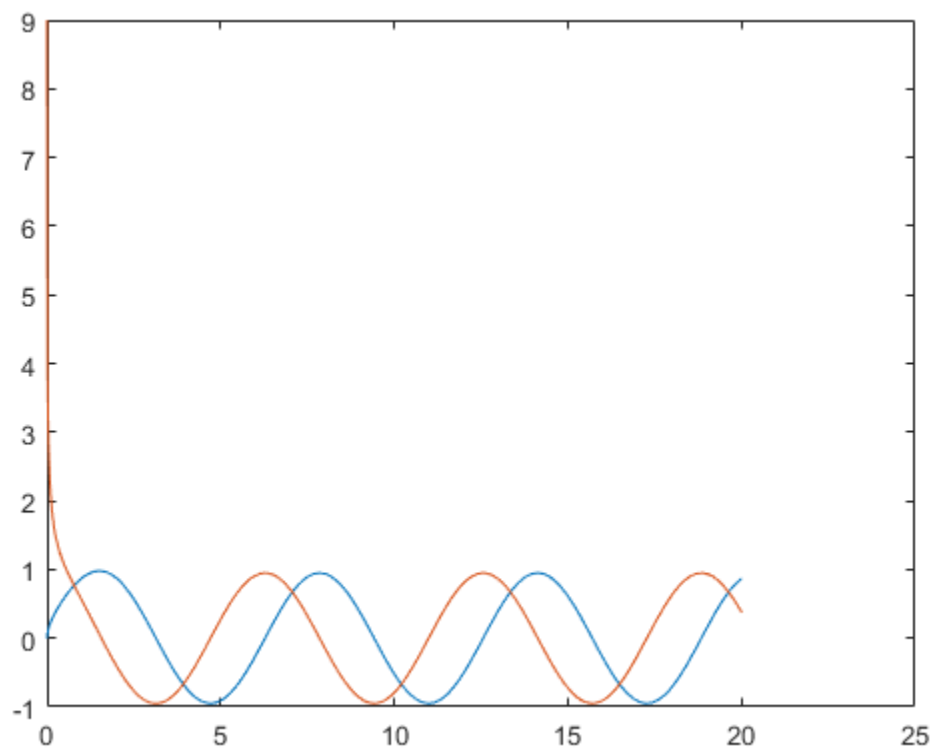
Wyższa wartość po pierwszym kroku wnioskuje z obserwacji działania programu, że

wynika z tego, że pochodna jest w tym miejscu bardzo duża i z działania oszacowania. Rząd wielkości tego błędu spada ze zmniejszeniem korku. Dla $h=0.001$ błąd jest już rzędu 10^{-5} .

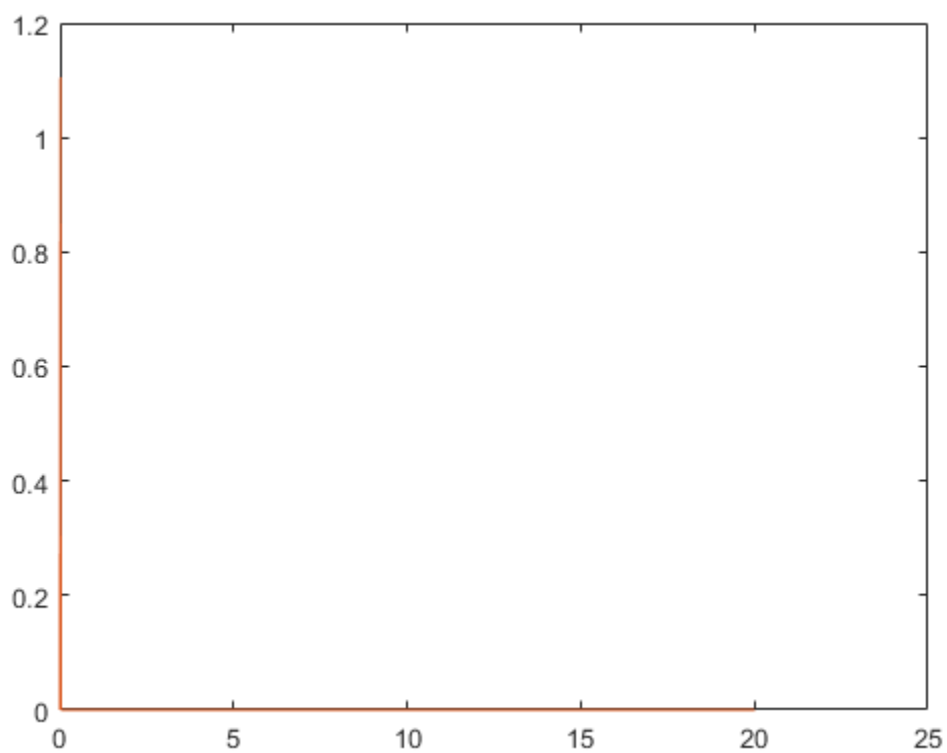
Punkt początkowy b [0 9]
ode45:



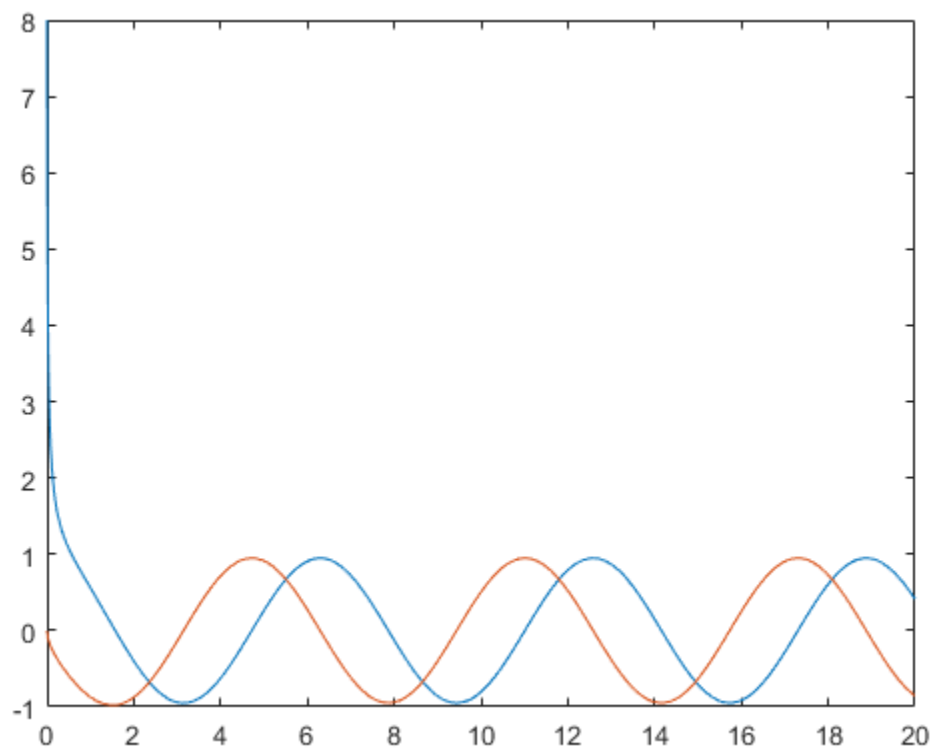
RK4 krok 0.0146582 znów okazał się pierwszym wystarczającą krótkim, punkt b jest bardzo podobny do a:



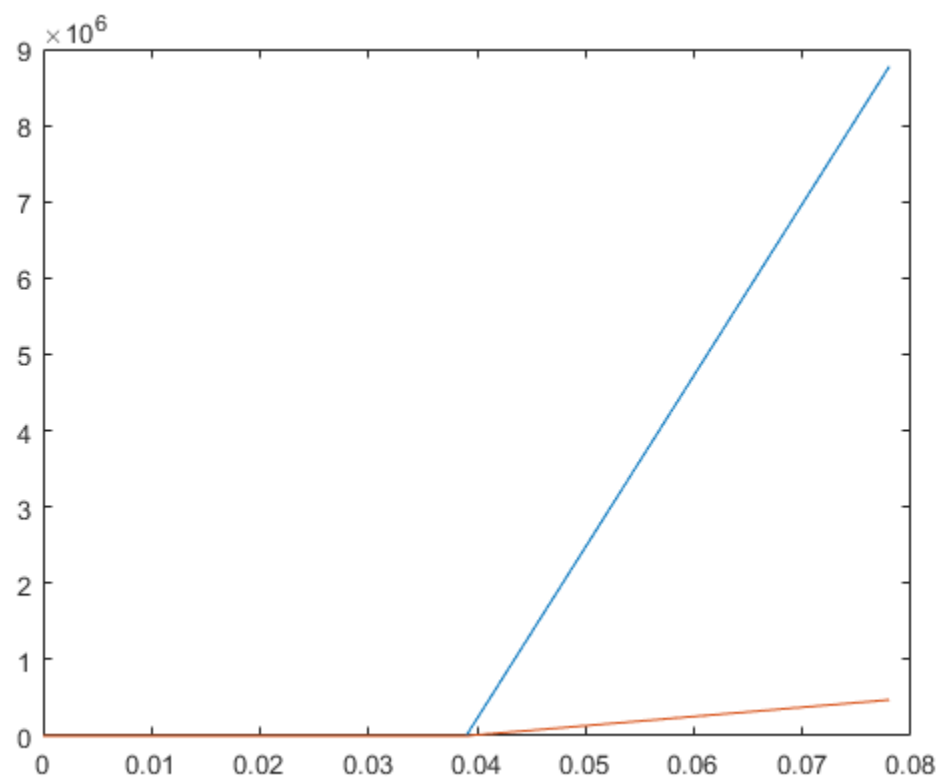
Szacowane błędy wyglądały tak:



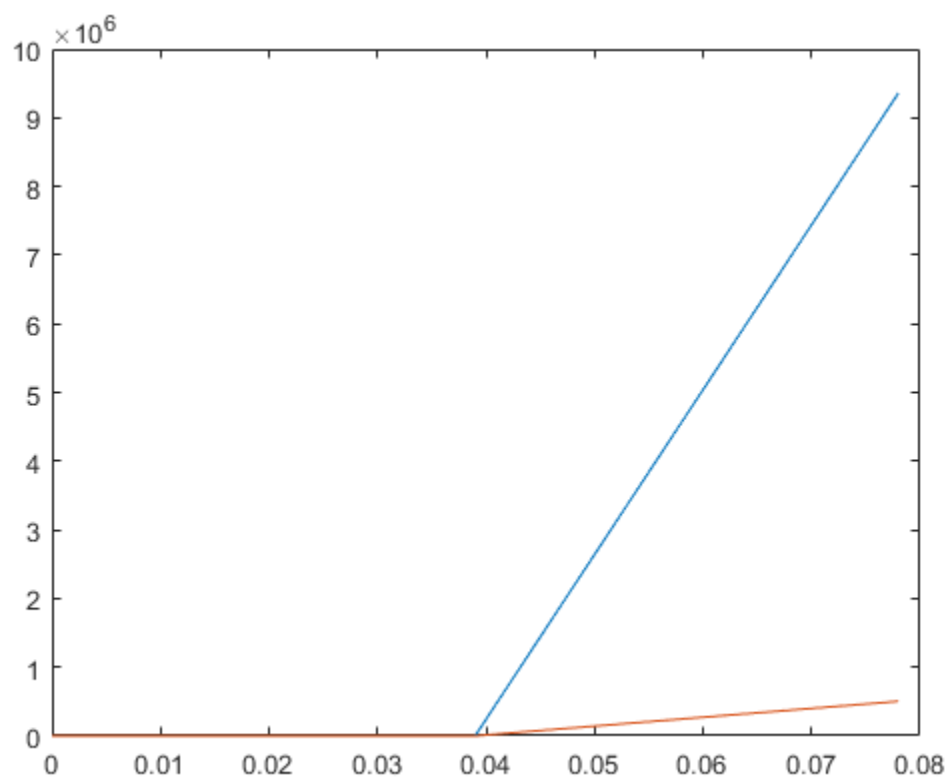
Punkt początkowy c [8 0]
ode45:



RK4 dla kroku 0.039 który okazał się w przybliżeniu pierwszym za dużym wyszło tak:

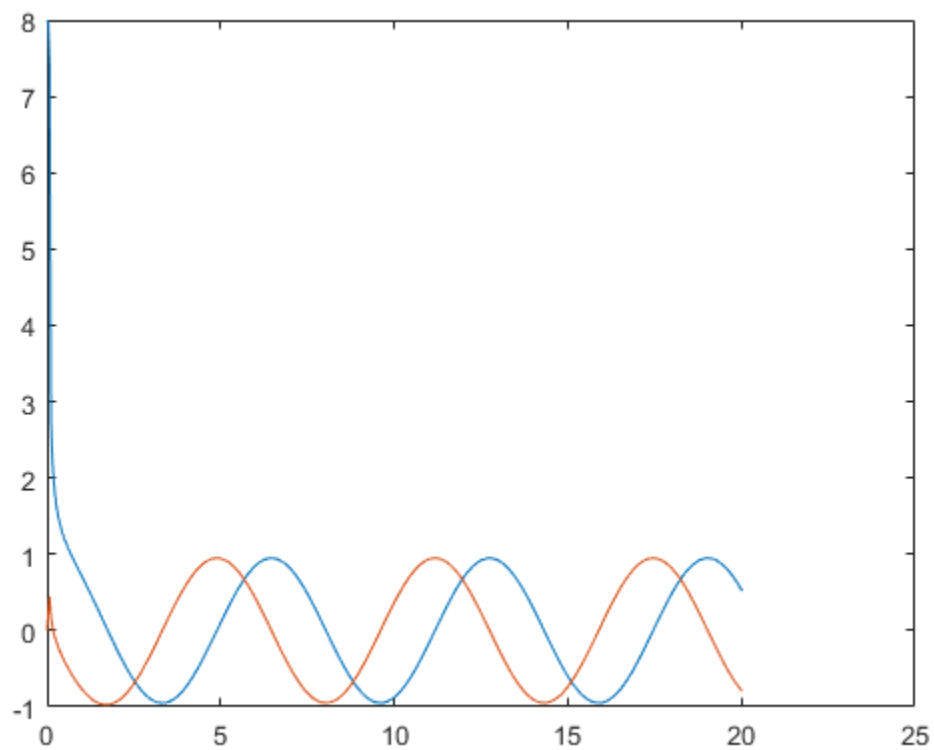


Szacowane błędy:

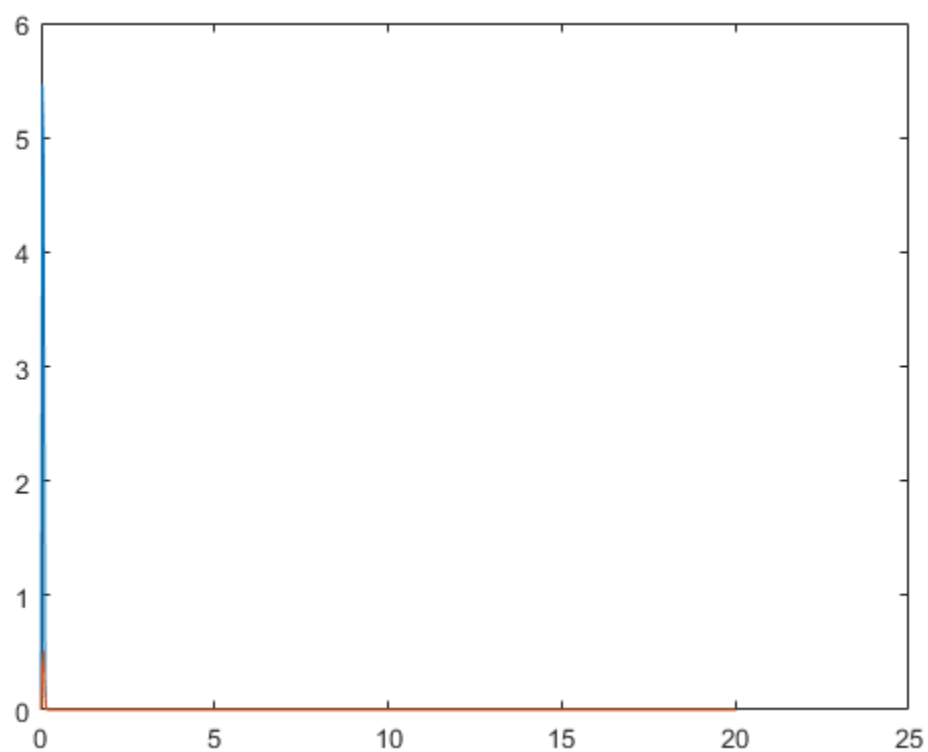


Jak rozwiązanie szybko się psuje, to szacowane błędy też.

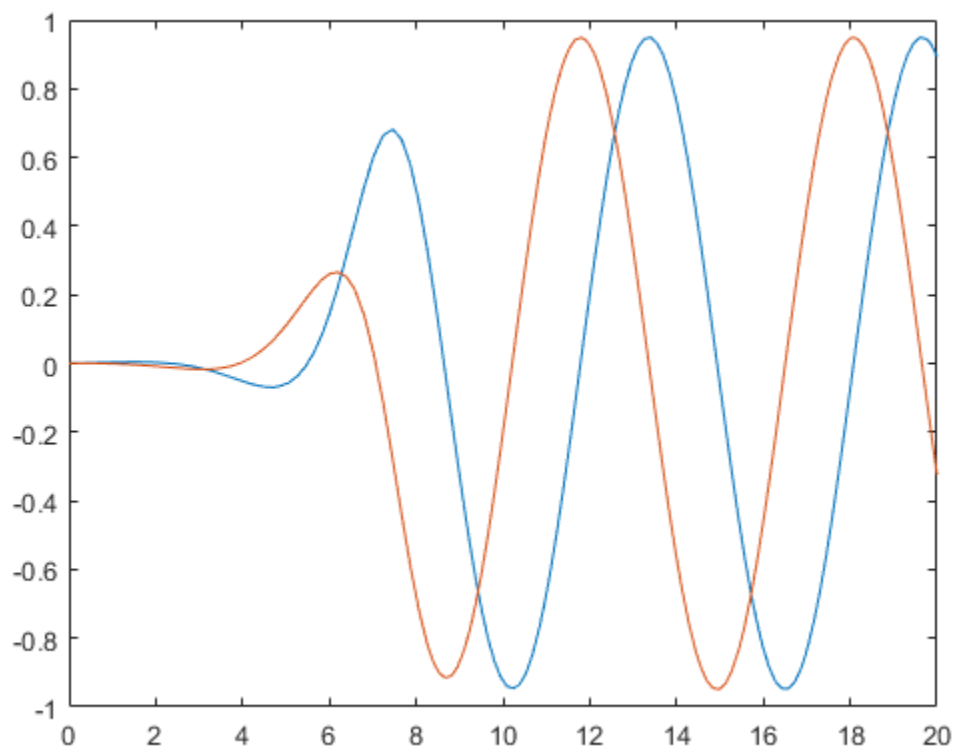
RK4 z krokiem 0.038 wygląda już jak ode45:



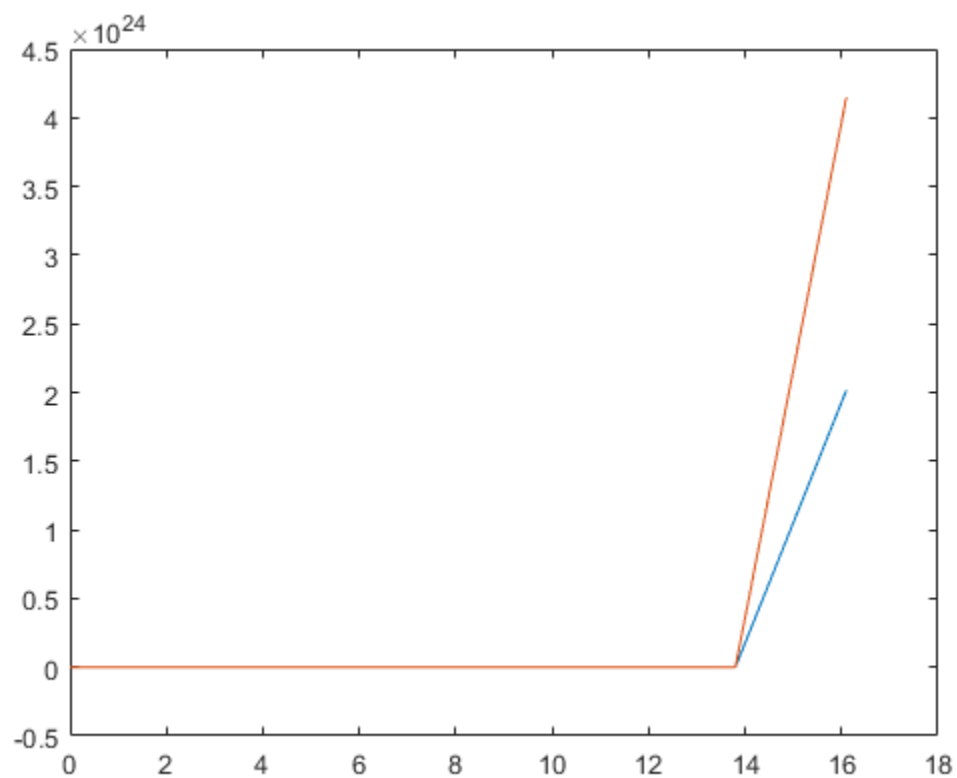
Szacowane błędy:



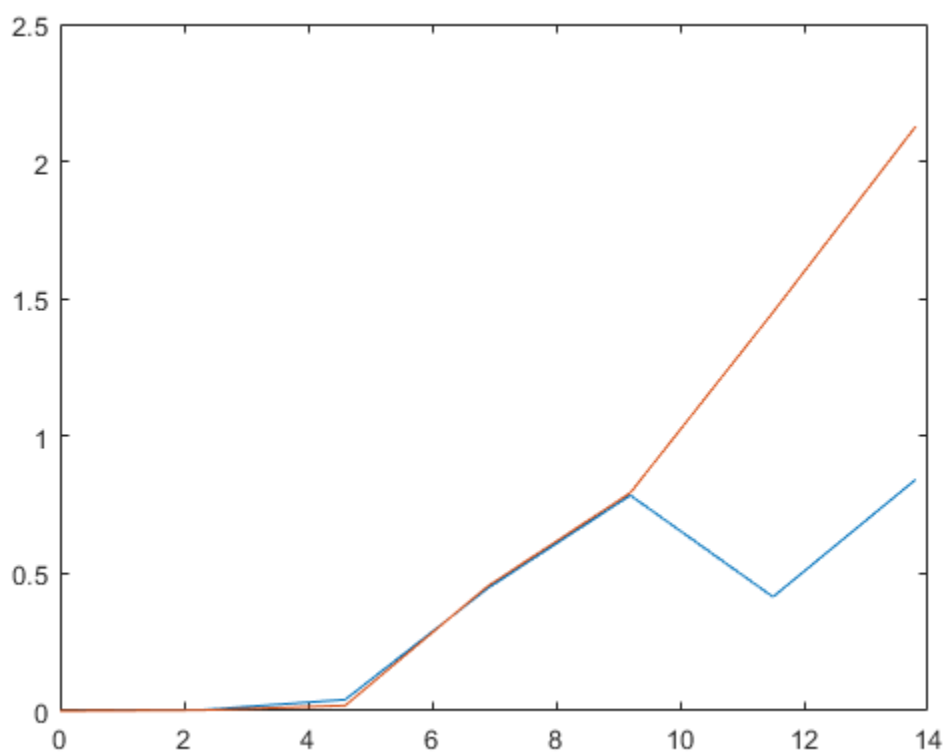
Punkt początkowy d [0.001 0.001]
ode45:



RK4 przy kroku 2.3 definitywnie przestaje działać:

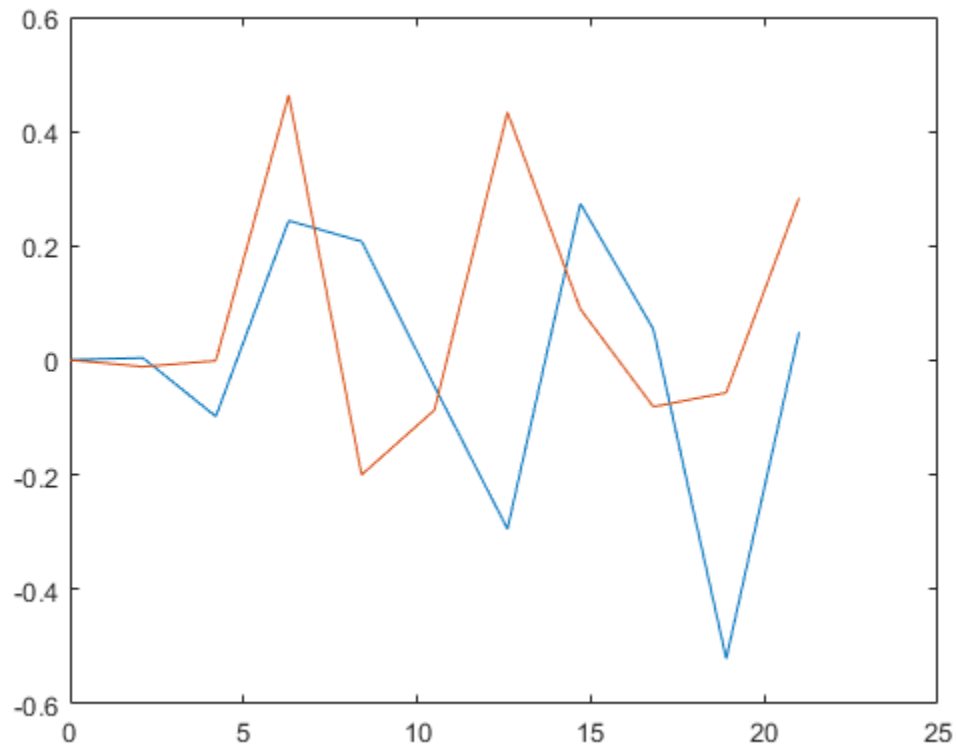


a szacowane błędy wyglądają tak:

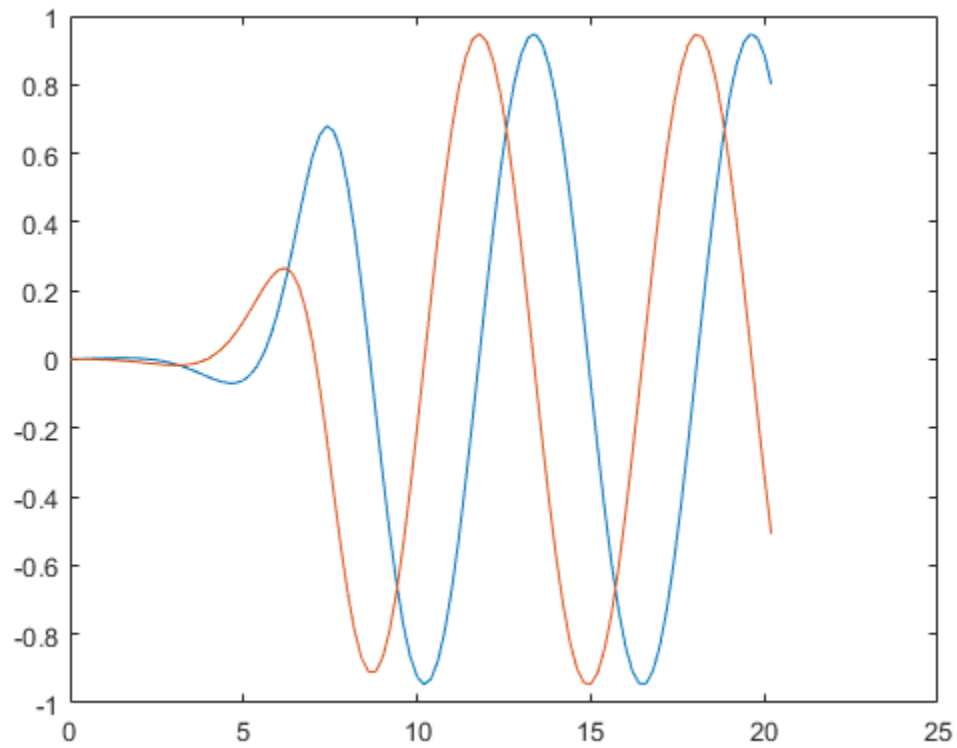


Powodem tego, że metoda nie działa przy tak dużym kroku jest to, że pochodne są brane z na tyle oddalonych o d oryginalnego punktach, że trudno powiedzieć żeby opisywały oryginalną funkcję w tym punkcie.

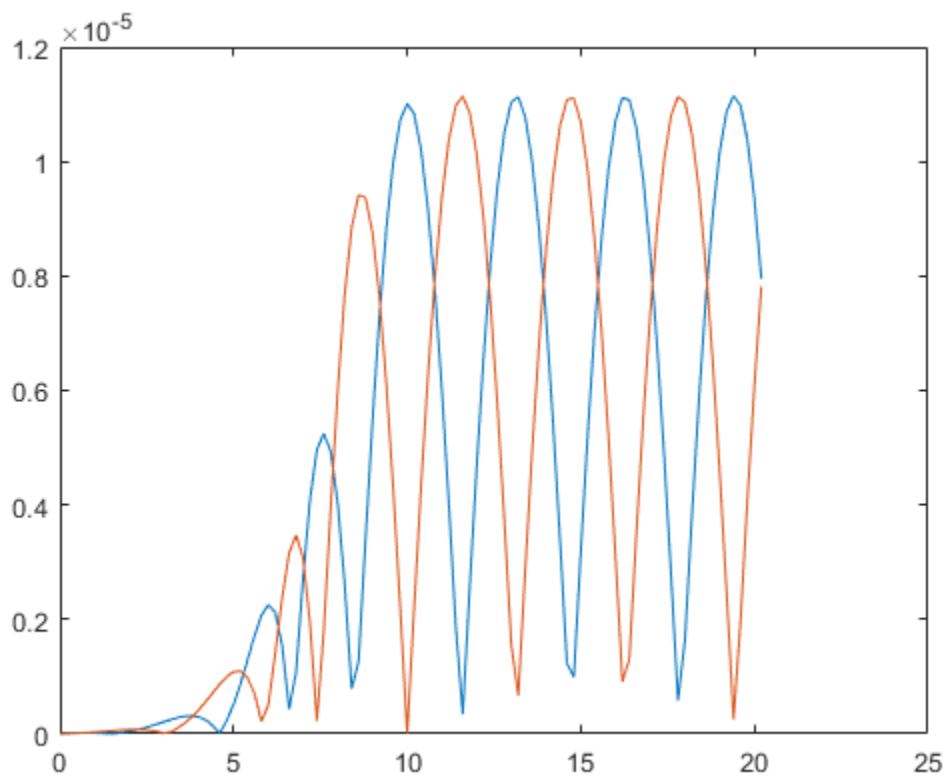
RK4 z krokiem 2.1 można uznać, że przypomina rozwiązanie z ode45 ale jest wybitnie nie gładkie:



RK4 z krokiem 0.2 jest pierwszym wyglądającym gładko:



Szacowane błędy wyglądają tak:



Metoda RK4 dla zadanego układu z punktu początkowego d zachowuje się bardzo

stabilnie ze zmianą kroku, prawdopodobnie ze względu na łagodniejsze zmiany funkcji niż w pozostałych punktach.

- 2) Metoda wielokorkowa predyktor-korektor Adamsa czwartego rzędu ze stałym krokiem jest połączeniem metod jawnych i niejawnych. Metody jawne do obliczenia następnej wartości używają tylko poprzednich wartości, a metody niejawne używają poprzednich wartości, oraz wartości w punkcie bieżącym. Metody Adamsa opierają się na przekształcenie równań różniczkowych w równanie całkowe:

$$y(x_n) = y(x_{n-1}) + \int_{x_{n-1}}^{x_n} f(t, y(t)) dt.$$

Metody jawne (Adamsa – Bashfortha) wykorzystują wzór interpolacyjny Lagrange'a do przybliżania wielomianem

$$f(x, y(x)) \cong W(x) = \sum_{j=1}^k f(x_{n-j}, y_{n-j}) \cdot L_j(x),$$

$$y_n = y_{n-1} + \sum_{j=1}^k f(x_{n-j}, y_{n-j}) \cdot \int_{x_{n-1}}^{x_n} L_j(t) dt,$$

wielomiany Lagrange'a:

$$L_j(x) = \prod_{m=1, m \neq j}^k \frac{x - x_{n-m}}{x_{n-j} - x_{n-m}}.$$

Otrzymany wzór:

$$y_n = y_{n-1} + h \sum_{j=1}^k \beta_j f(x_{n-j}, y_{n-j}),$$

współczynniki β są stabilizowane.

Metody niejawne (Adamsa – Moultona)

Wykorzystane jest przybliżenie równania całkowego wielomianem interpolacyjnym. Dany jest wzór:

$$\begin{aligned} y_n &= y_{n-1} + h \sum_{j=0}^k \beta_j^* \cdot f(x_{n-j}, y_{n-j}) = \\ &= y_{n-1} + h \cdot \beta_0^* \cdot f(x_n, y_n) + h \sum_{j=1}^k \beta_j^* \cdot f(x_{n-j}, y_{n-j}) \end{aligned}$$

tu parametry β też są stabilizowane.

Metoda predyktor-korektor Adamsa:

$$\begin{aligned}
\text{P:} \quad y_n^{[0]} &= y_{n-1} + h \sum_{j=1}^k \beta_j f_{n-j}, \\
\text{E:} \quad f_n^{[0]} &= f(x_n, y_n^{[0]}), \\
\text{K:} \quad y_n &= y_{n-1} + h \sum_{j=1}^k \beta_j^* f_{n-j} + h \beta_0^* f_n^{[0]}, \\
\text{E:} \quad f_n &= f(x_n, y_n).
\end{aligned}$$

oszacowanie błędu:

$$\delta_n(h_{n-1}) = -\frac{19}{270}(y_n^{[0]} - y_n)$$

Na początku metody PK znajdują potrzebne pierwsze 4 wartości za pomocą RK4.

```

function [ x, T, errx, t ] = PKA( dx, x0, przedzial, krok )
%PKA Implementacja metody predyktor-korektor Adamsa ze stałym krokiem
% dx - układ równań różniczkowych pierwszego rzędu
% x0 - punkt początkowy
% przedzia³ - zadany przedzia³ (od zera)
% x - rozwiązanie
% T - interwały przedzia³u (potrzebne do wykresu itp)
% errx - b³ęd rozwiązania
% t - czas obliczeń
tic;
yn=x0;%y0
h=krok;
h2=0.5*h;
beta=[55/24,-59/24,37/24,-9/24];
betag=[251/720,646/720,-264/720,106/720,-19/720];
x=zeros(length(przedzial(1):krok:przedzial(2)),2);
errx=zeros(length(przedzial(1):krok:przedzial(2)),2);
T=zeros(length(przedzial(1):krok:przedzial(2)),1);
x(1,:)=yn';
%obliczenie pierwszych 3 wartoœci (poza punktem początkowym) metod¹ RK4
for i=2:4
    k1=dx(yn);
    k2=dx(yn+0.5*h*k1);
    k3=dx(yn+0.5*h*k2);
    k4=dx(yn+h*k3);
    ynp1=yn+1/6*h*(k1+2*k2+2*k3+k4);
    x(i,:)=ynp1';
    for i2=1:2
        k1=dx(yn);
        k2=dx(yn+0.5*h2*k1);
        k3=dx(yn+0.5*h2*k2);
        k4=dx(yn+h2*k3);
        yn=yn+1/6*h2*(k1+2*k2+2*k3+k4);
    end
    errx(i,:)=abs(16/15*(yn-ynp1));
    yn=ynp1;
    T(i)=i*h;
end
for i=5:length(przedzial(1):krok:przedzial(2))
    suma=[0, 0];
    for j=1:4
        suma=suma+beta(j)*dx(x(i-j,:));
    end
end

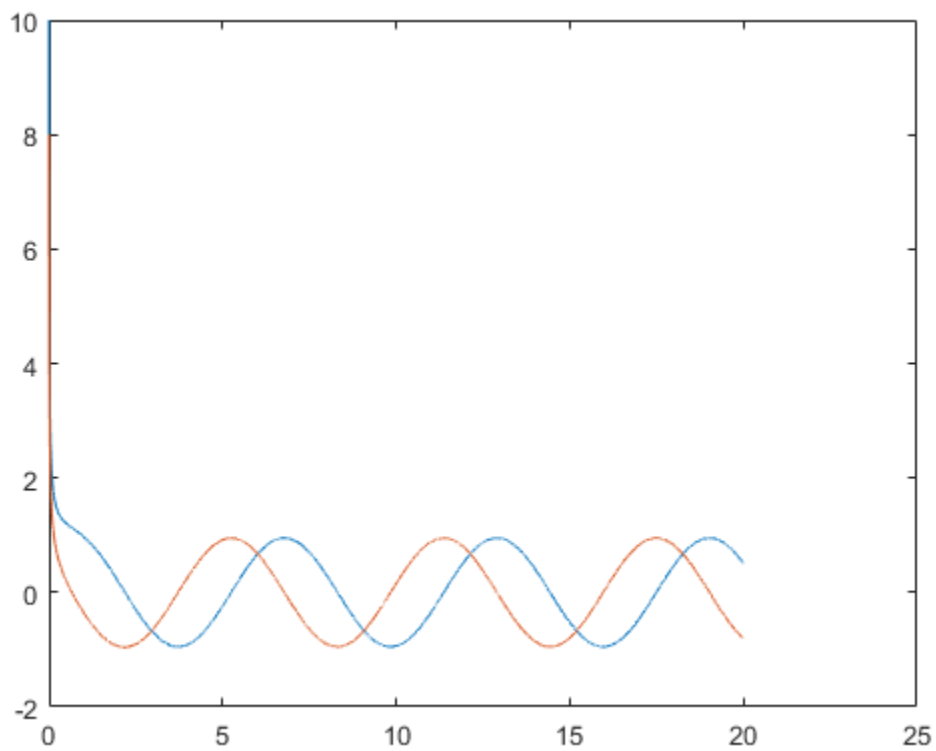
```

```

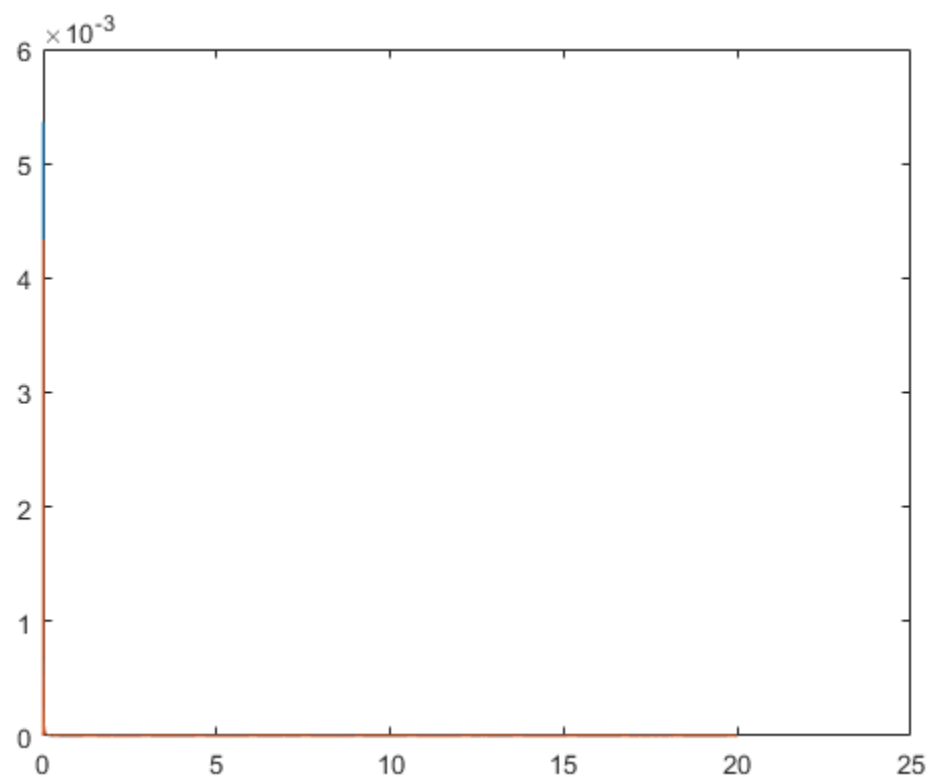
end
xo=x(i-1,:)+h*suma;
f=dx(xo);
suma=[0, 0];
for j=1:3
    suma=suma+betag(j+1)*dx(x(i-j,:));
end
x(i,:)=(x(i-1,:)+h*suma+h*betag(1)*f)';
errx(i,:)=abs(19/270*(xo-x(i,:)));
T(i)=i*h;
end
t=toc;
end

```

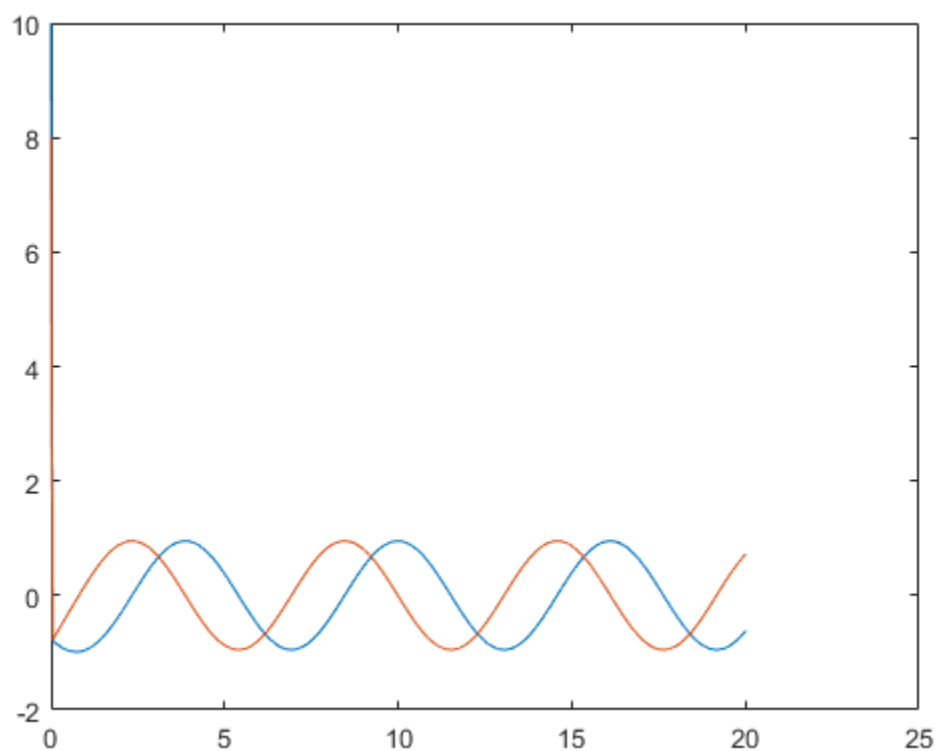
Rozwiązanie metodą PK dla punktu początkowego a, krok 0.001:



Oszacowanie błędów:

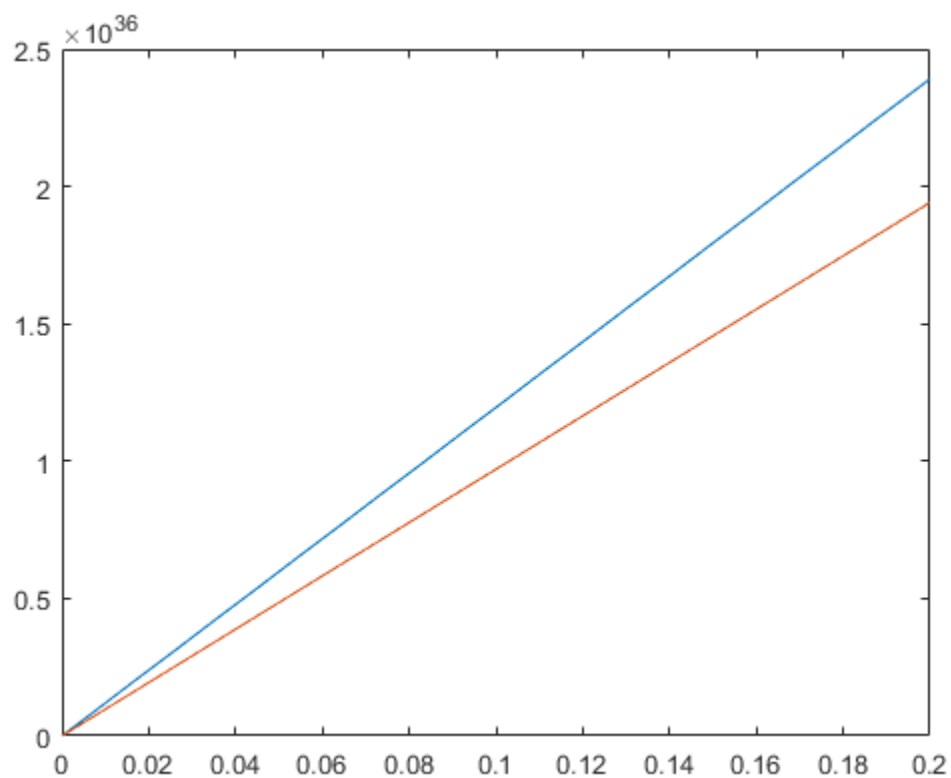


Przy kroku 0.01 zaczyna się psuć:

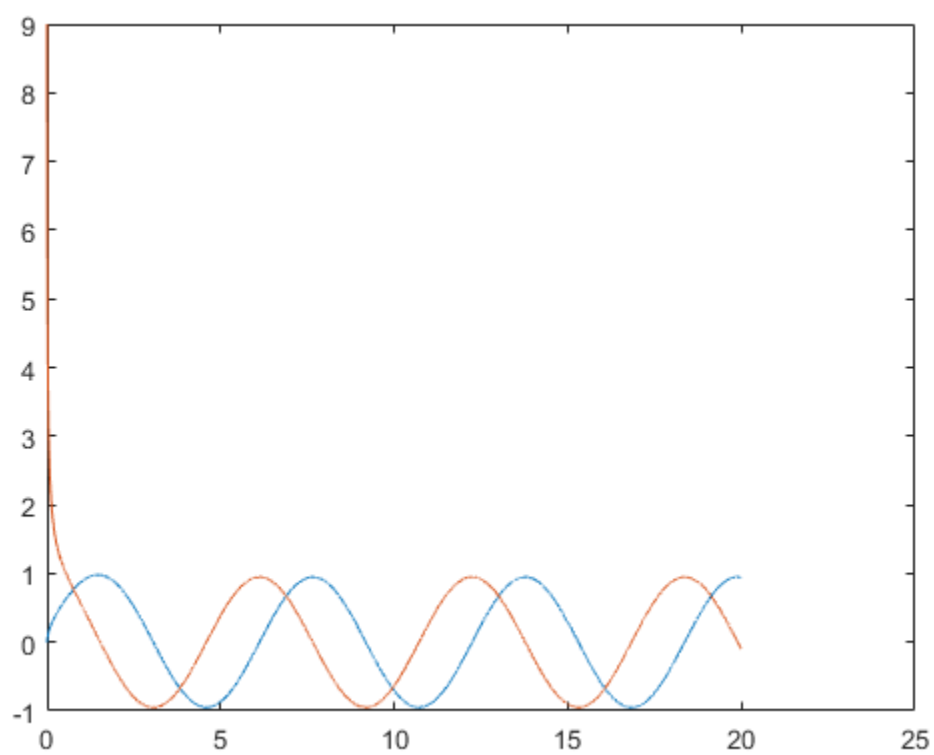


Widać nagłe przejście i brakujący fragment wykresu między dużą pochodną, a mniejszą. Z krokiem 0.1 metoda zupełnie zawodzi osiągając najpierw dużą wartość z powodu

dużej pochodnej, a potem NaN:

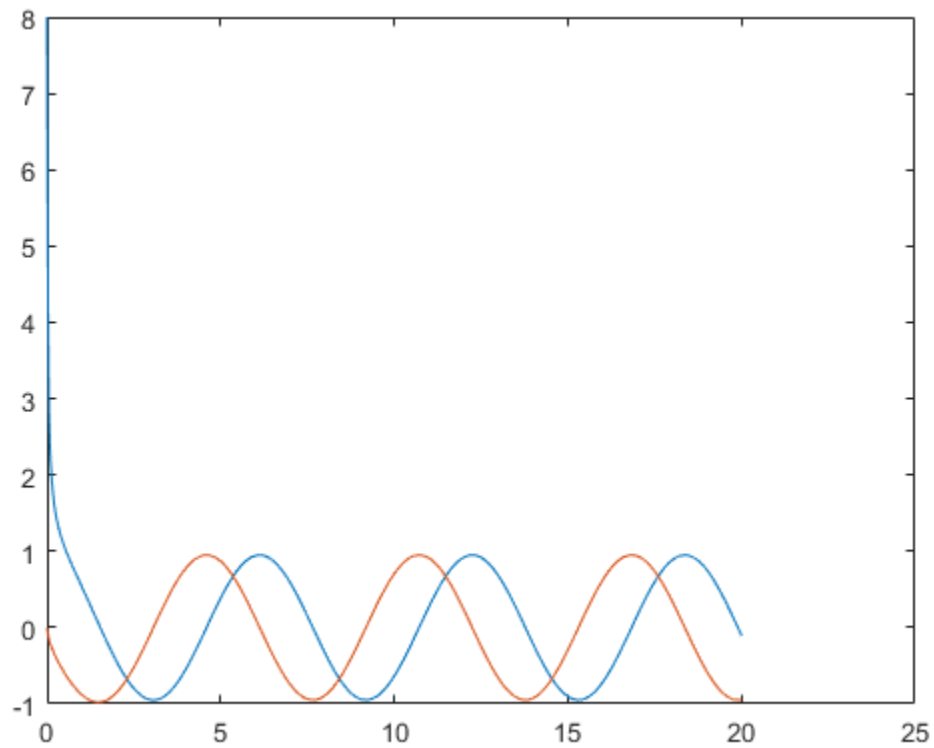


Punkt początkowy b z krokiem 0.01:



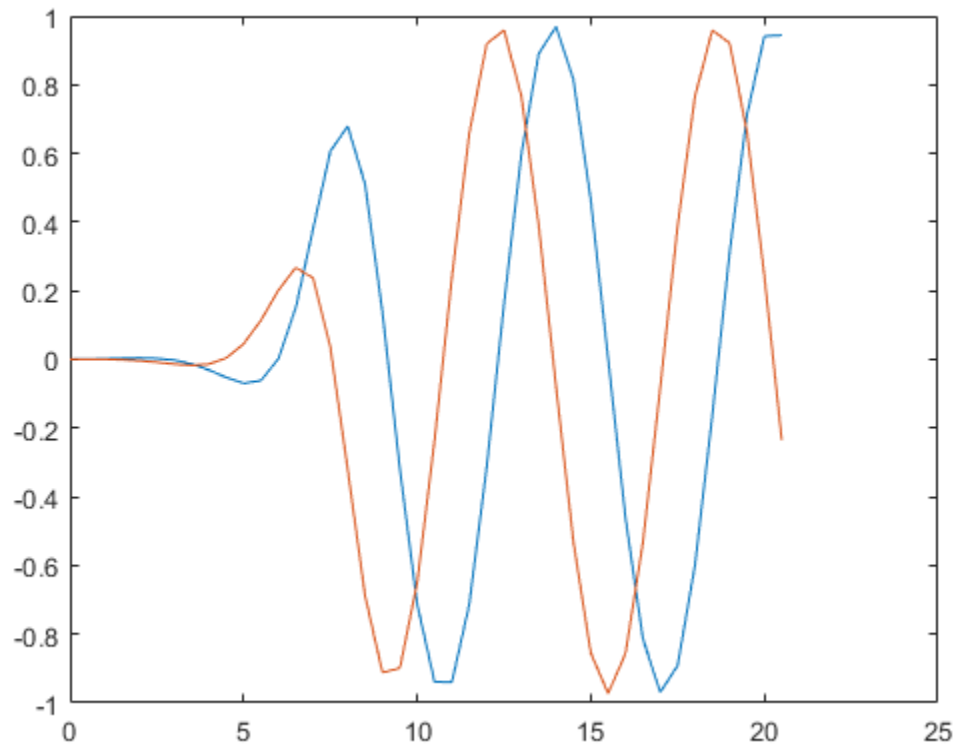
oszacowanie błędów jak w a.

Punkt początkowy c z krokiem 0.01:

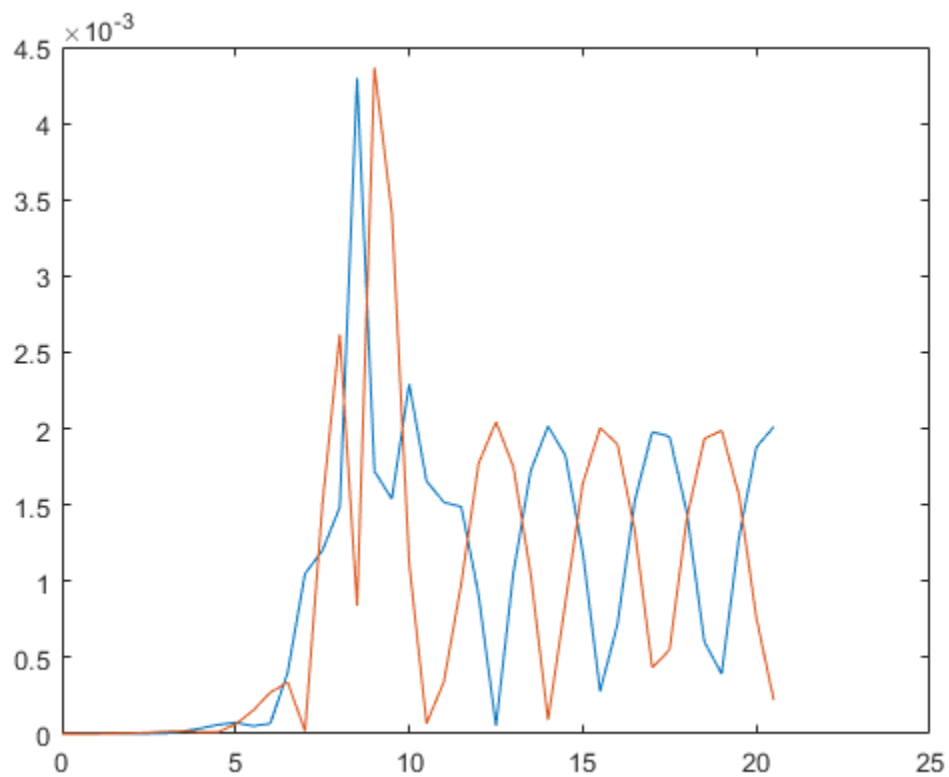


oszacowanie błędów jak w a i b wykresy te niewiele się różnią ze względu na podobieństwo punktów początkowych.

Punkt początkowy d z krokiem 0.5 na granicy gładkości:

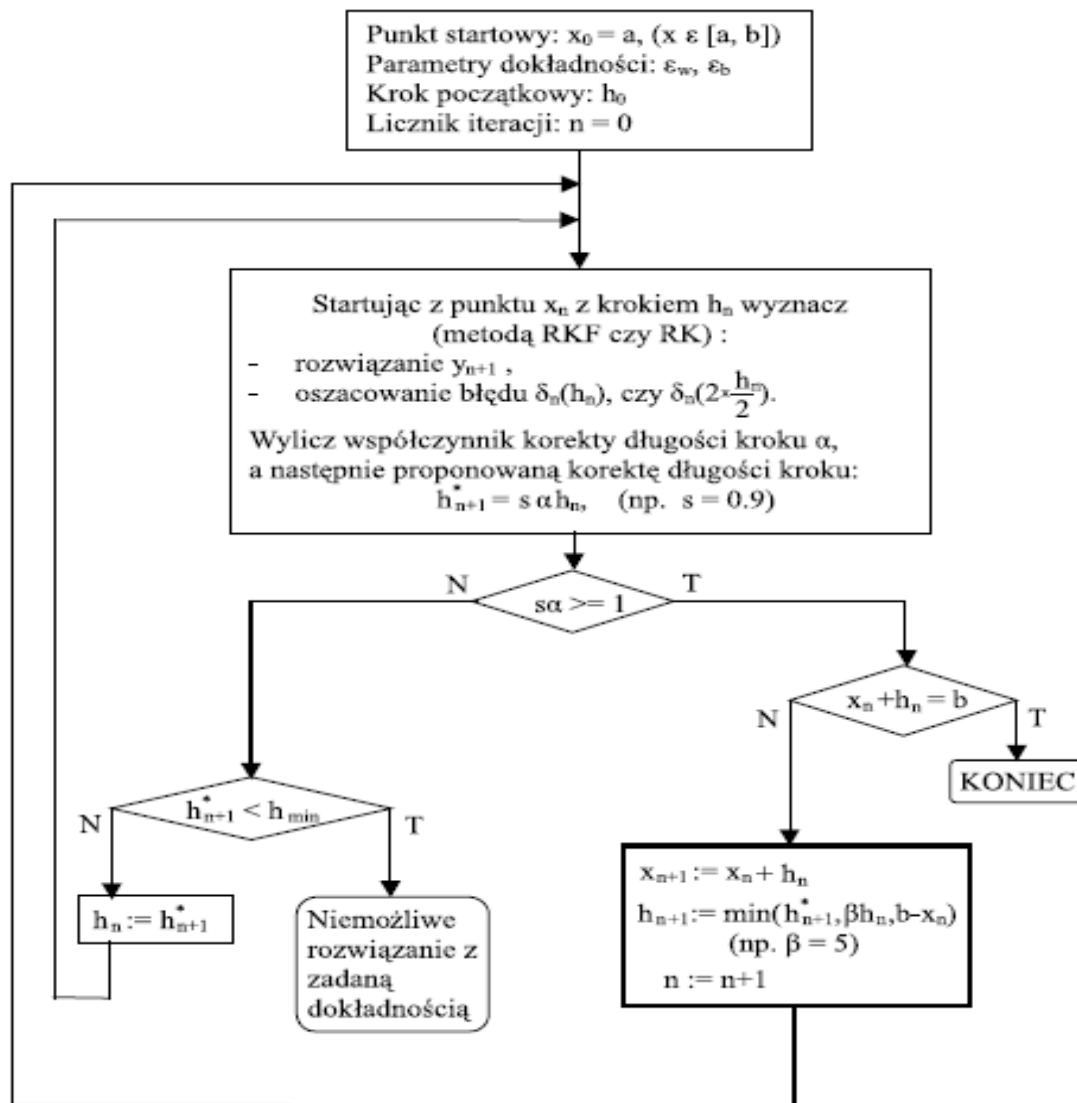


Oszacowanie błędu:



3) Metoda Rungego-Kutty ze zmiennym krokiem działa tak samo jak RK ze stałym

krokiem, tylko wykorzystywane jest oszacowanie błędu do korekty kroku, dodatkowo zadana jest oczekiwana dokładność.



```

function [ x, T, errx, t ] = RK4_zmienny_krok( dx, x0, przedzial )
%RK4_zmienny_krok Metoda Rungego-Kutty czwartego rzędu ze zmiennym krokiem
% dx - układ równań różniczkowych pierwszego rzędu
% x0 - punkt początkowy
% przedzia³ - zadany przedzia³ (od zera)
% x - rozwiązanie
% T - interwa³y przedzia³u (potrzebne do wykresu itp) tutaj ważniejsze
% niż wcześniej ze względu na zmienny krok
% errx - b³ęd rozwiązania
% t - czas obliczeń
tic;
yn=x0;%y0
krok=0.001;
alpha=1;%współczynnik korekcji kroku
epsilon=1e-3;%dok³adnoœæ obliczeń
epsilonWzg=1e-3;%dok³adnoœæ względna
epsilonBezWzg=1e-6;%dok³adnoœæ bezwzględna
  
```

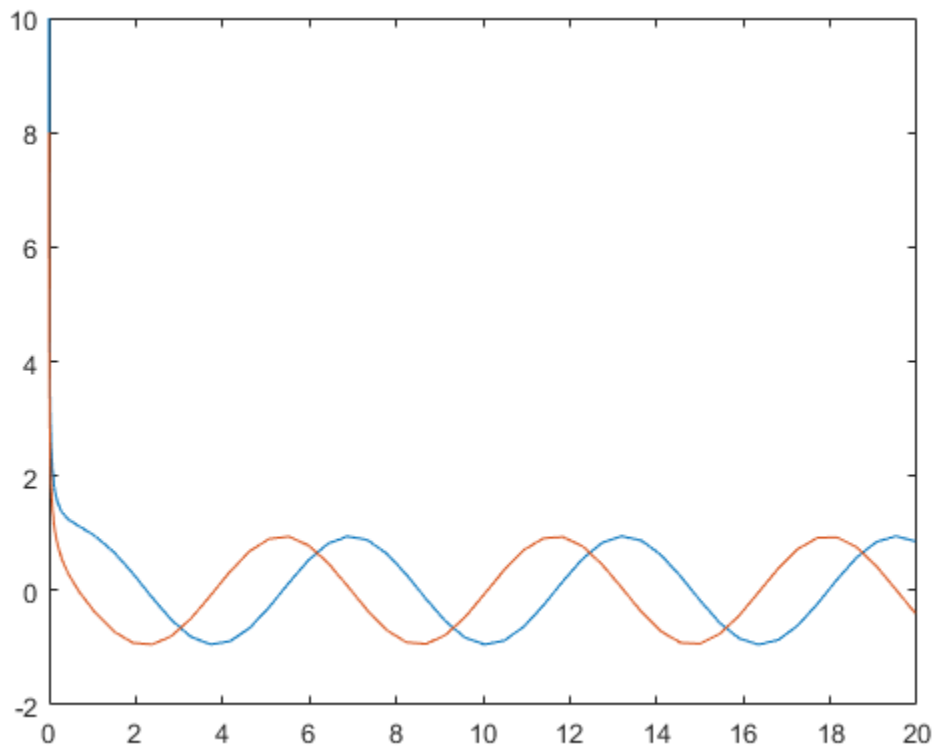
```

s=0.9;
beta=5;
maxiter=1e4;
h=krok;
h2=0.5*h;
j=1;
%x=zeros(length(przedzial(1):krok:przedzial(2)),2);
%errx=zeros(length(przedzial(1):krok:przedzial(2)),2);
%T=zeros(length(przedzial(1):krok:przedzial(2)),1);
x(j,:)=yn';
T(j)=0;
while T(j)+h<przedzial(2) && j<maxiter
    j=j+1;
    k1=dx(yn);%zmiana oznaczeń w celu zgodności z podręcznikiem
    k2=dx(yn+0.5*h*k1);
    k3=dx(yn+0.5*h*k2);
    k4=dx(yn+h*k3);
    ynp1=yn+1/6*h*(k1+2*k2+2*k3+k4);
    x(j,:)=ynp1';
    h2=h/2;
    for i2=1:2%obliczenie yn+1 w dwóch o połowę mniejszych krokach na potrzeby
oszacowania b³ędu
        k1=dx(yn);
        k2=dx(yn+0.5*h2*k1);
        k3=dx(yn+0.5*h2*k2);
        k4=dx(yn+h2*k3);
        yn=yn+1/6*h2*(k1+2*k2+2*k3+k4);
    end
    errx(j,:)=abs(16/15*(yn-ynp1));
    yn=ynp1;
    T(j)=T(j-1)+h;
    epsilon=abs(yn)*epsilonWzg+epsilonBezWzg;
    alpha=min(epsilon/errx(j,:))^(1/5);
    hs=s*alpha*h;
    if s*alpha>=1
        if T(j)+h<przedzial(2)
            h=min([hs, beta*h, przedzial(2)-T(j)]);
        end
    elseif hs<1e-9
        disp('nie mozliwe rozwiazanie z zadana dokladnoscia');
    else
        h=hs;
    end
end

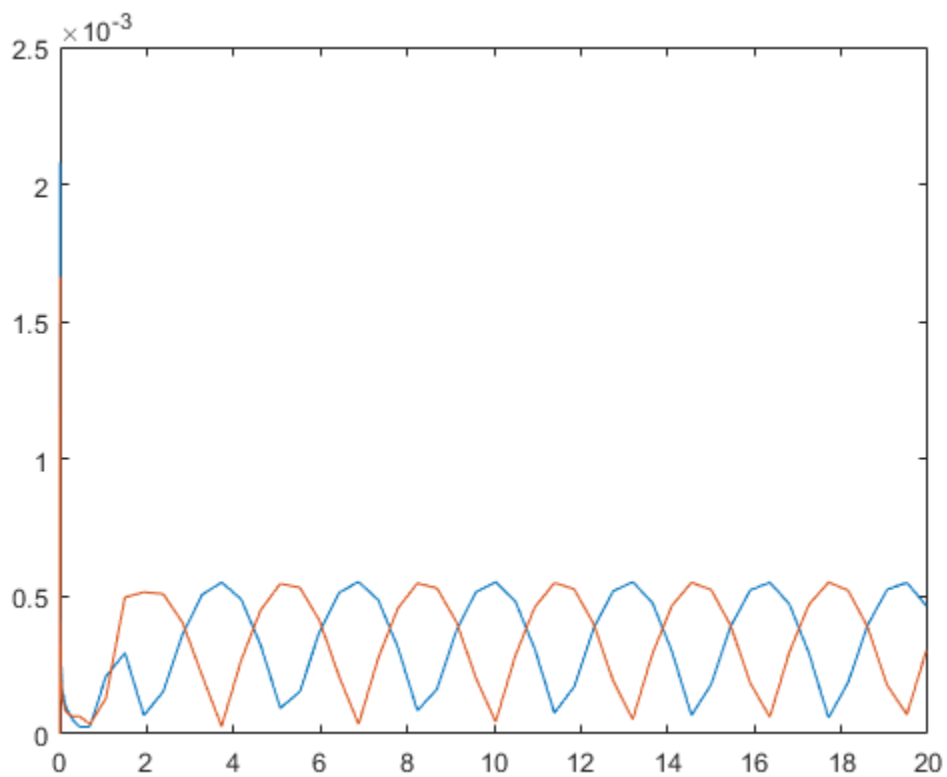
end
t=toc;
end

```

Rozwiązanie dla punktu startowego a:

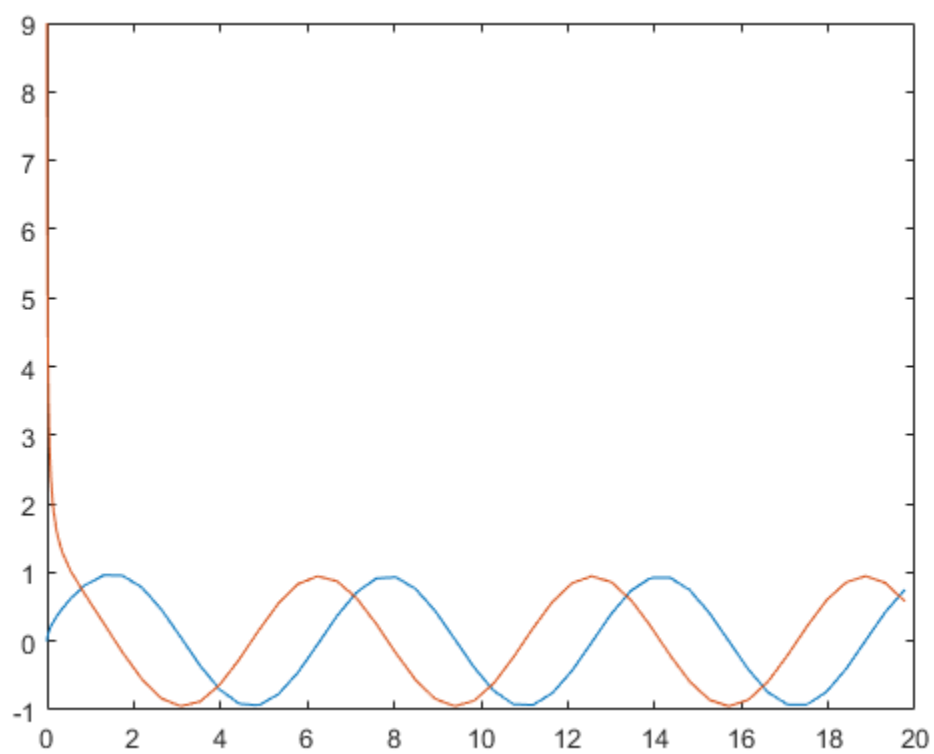


Szacowane błędy dla kroków:



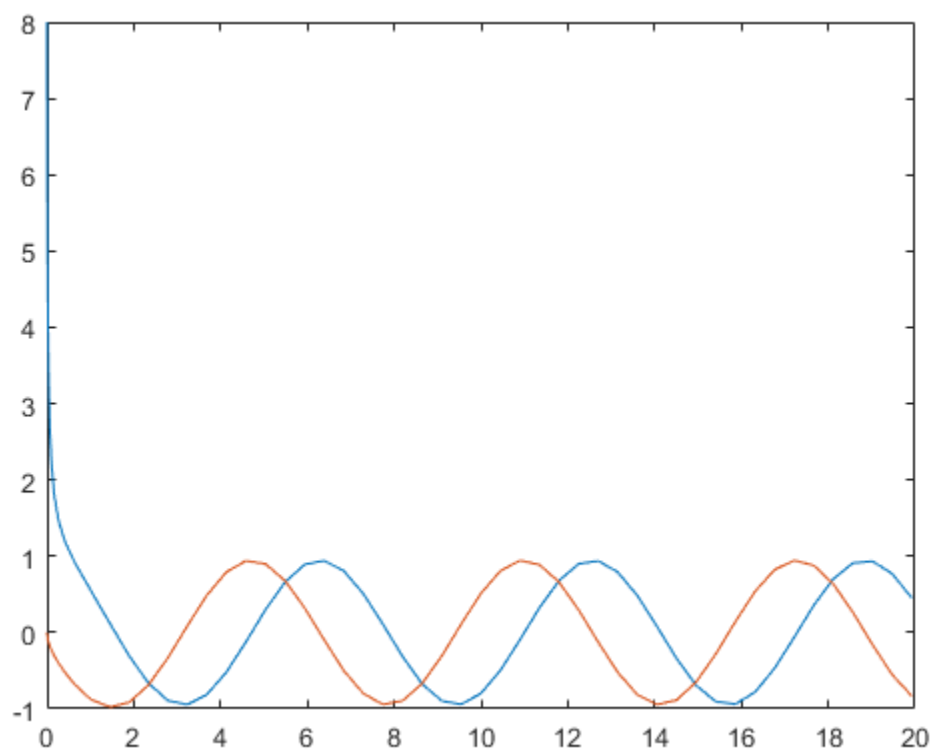
Widać, że błędy utrzymywały się w pobliżu zadanych dokładności. Rozwiązanie zajęło 0.0134 sekundy i 57 iteracji.

Punkt początkowy b:

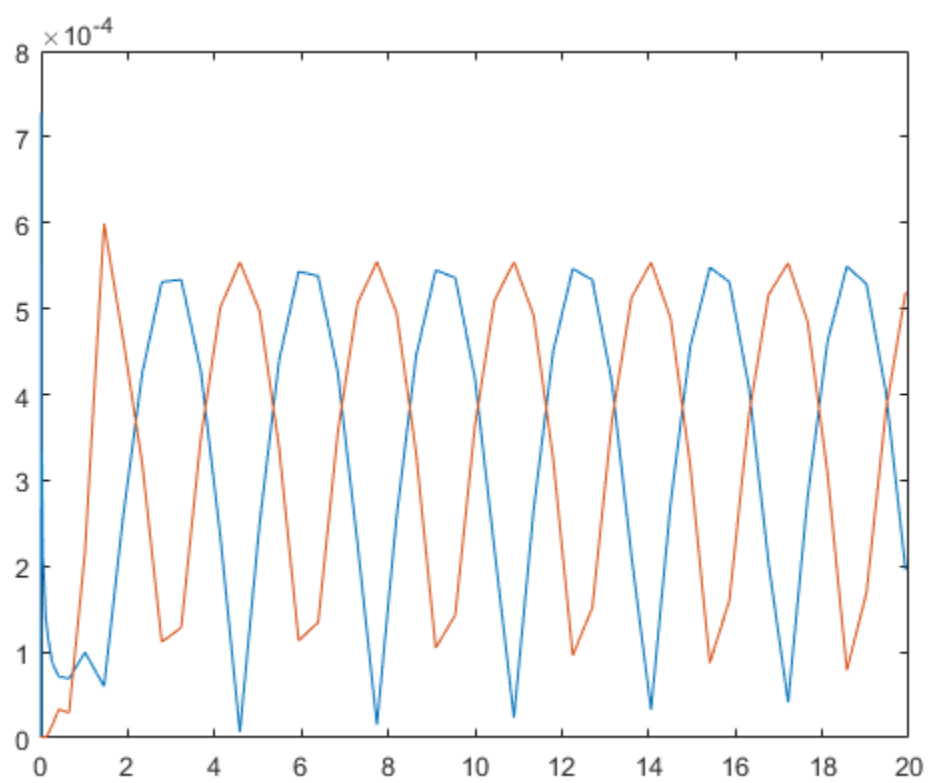


błędy wyglądają tak samo jak w a. 0.0028s, 55 iteracji.

Punkt początkowy c:

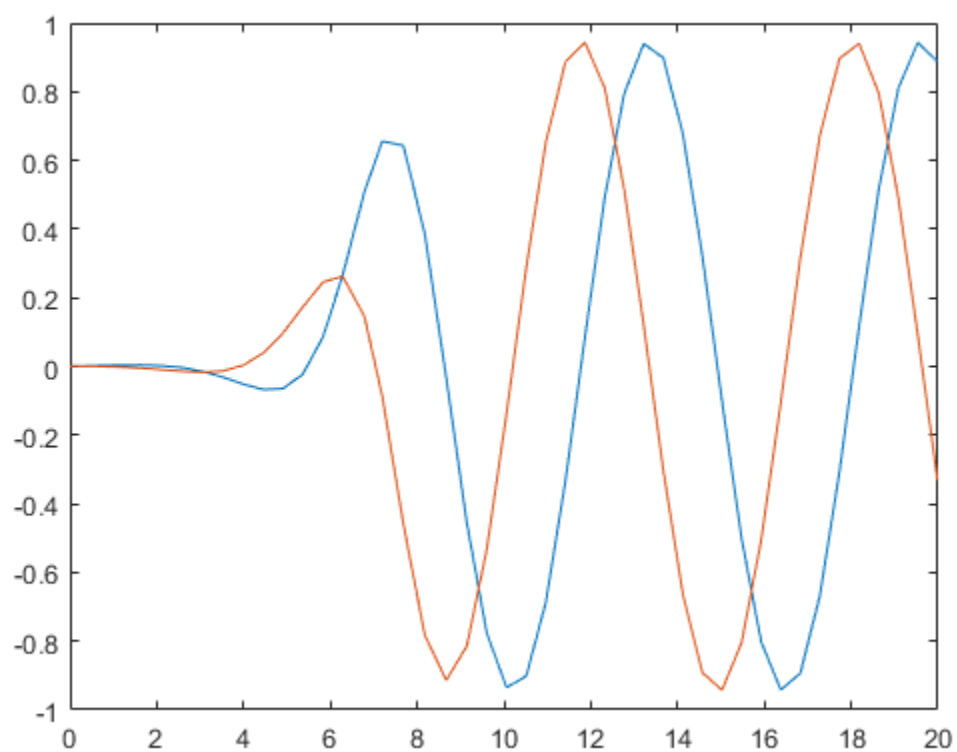


szacowane błędy:



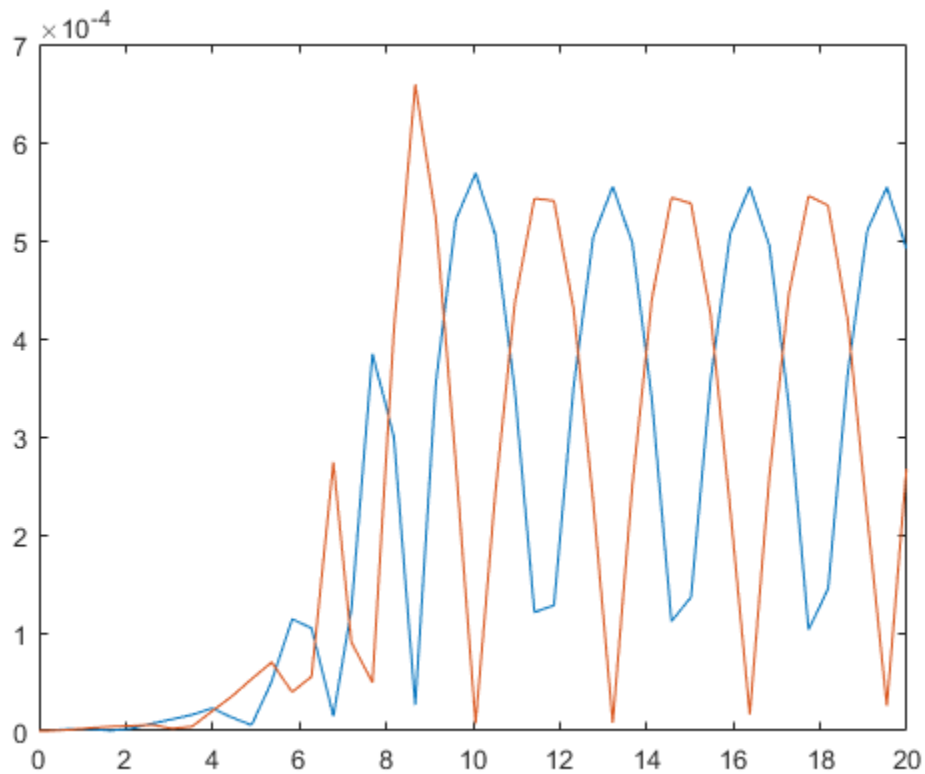
czas 0.0126s, 55 iteracji.

Punkt początkowy d:



Widać, że wyszło trochę nie gładko, jeśli by komuś na wyglądzie zależało, to można by trochę dostroić parametry.

Szacowane błędy:



czas 0.0024s, 48 iteracji.

Dla metody RK4 ze stałym krokiem czas 0.0425s i iteracji stosownie dużo (setki, tysiące) do kroku.

Dla metody PK 0.0443s porównywalna, ale raczej duża liczba kroków.

Metoda RK4 ze zmiennym korkiem stanowczo najszybsza i potrzebuje znacznie mniej kroków.

Generalnie metody ze zmiennym krokiem są lepsze.